

ANNA TOKARSKA

Politechnika Śląska

Wydział Chemiczny

Katedra Chemii, Technologii Nieorganicznej i Paliw

ul. Krzywoustego 6, 44-100 Gliwice

e-mail: anna.tokarska@polsl.pl

Wodorowe uszlachetnianie ciekłych produktów pirolizy odpadowych poliolefin

Cz. I. USZLACHETNIANIE CIEKŁYCH PRODUKTÓW OTRZYMANYCH W WARUNKACH LABORATORYJNYCH

Streszczenie — Przedstawiono wyniki badań procesu wodorowego uszlachetniania ciekłych produktów pirolizy odpadowych poliolefin. Do uwodornienia surowców zawierających 40–50 % mas. składników nienasyconych zastosowano procesy hydrorafinacji na przemysłowym katalizatorze CoMo i hydrogenizacji na katalizatorze NiCr. Hydrorafinację najkorzystniej jest prowadzić w temp. 300 °C i pod ciśnieniem 6–7 MPa, wysyceniu ulega wówczas ok. 80 % mas. składników nienasyconych. W procesie uszlachetniania można też wykorzystać gaz koksowniczy, a także metanol jako czynnik donorowodorowy. Uszlachetnione ciekłe produkty pirolizy mogą stanowić bezsiarkowe komponenty paliw silnikowych.

Słowa kluczowe: odpadowe poliolefiny, piroliza, ciekłe produkty, hydrorafinacja, hydrogenizacja.

HYDROREFINING OF THE LIQUID PRODUCTS OBTAINED IN THE PYROLYSIS OF WASTE POLYOLEFINS. Part I. REFINING OF LIQUID PRODUCTS ON THE LABORATORY SCALE

Summary — The results of hydrorefining of the liquid products obtained in the pyrolysis of waste polyolefins have been presented. The waste polyolefin pyrolytic products were composed of 40–50 wt. % of unsaturated components (Table 1). Hydrorefining was performed over an industrial CoMo catalyst while hydrogenation was carried out in the presence of a NiCr catalyst (Table 2). The highest yields in the hydrorefining process were obtained at 300 °C under 6–8 MPa pressure (Figs. 2–4). About 80 % of the unsaturated components underwent saturation. Coke-oven gas and methanol have also been found to be possible hydrogen donors in the hydrorefining process (Fig. 6). The hydrorefined products can be applied as non-sulfuric components in engine fuels.

Keywords: waste polyolefins, pyrolysis, liquid products, hydrorefining, hydrogenation.

Wraz z rozwojem przemysłu tworzyw polimerowych nastąpił problem utylizacji odpadów, powstających w procesie ich otrzymywania, a następnie przetwórstwa. W strumieniu takich odpadów znaczny udział, przekraczający 70 % mas., mają poliolefiny. Mogą one stanowić potencjalne źródło frakcji paliwowych. W tym celu, poliolefiny poddaje się procesowi pirolizy prowadzonemu pod ciśnieniem atmosferycznym, w temperaturze z zakresu 350–450 °C. Reakcji ulega ponad 90 % mas. odpadów poliolefinowych. Głównymi produktami, otrzymanymi z wydajnością ponad 80 % mas., są mieszaniny ciekłych węglowodorów ulegające destylacji w temp. do 360 °C, niezawierające związków aromatycznych i siarkowych. Udział składników nienasyconych w takich

mieszaninach wynosi ok. 45–55 % mas. [1–5]. Aby te ciekłe produkty rozkładu poliolefin mogły być komponentami paliw muszą jednak być poddane wodorowemu uszlachetnianiu obejmującemu hydrorafinację i/lub hydrogenizację mającą na celu wysycenie składników nienasyconych i poprawę stabilności. Obecne normy dopuszczażą zawartość składników nienasyconych w benzynach na poziomie nie wyższym niż 18 % obj. [6–11]. W olejach napędowych natomiast nie normuje się udziału węglowodorów nienasyconych, ale ich obecność może niekorzystnie wpływać na stabilność paliwa.

Celem przeprowadzonych badań było ustalenie optymalnych parametrów wodorowego uszlachetniania pro-

duktów pirolizy odpadowych poliolefin, pozwalających na możliwie maksymalne wysycenie nienasyconych składników.

W celu wysycenia związków nienasyconych obecnych w mieszaninach węglowodorowych można stosować procesy hydrorafinacji, lub, gdy mieszanina nie zawiera siarki, procesy hydrogenizacji. Opisywana seria badań obejmowała oba procesy.

CZĘŚĆ DOŚWIADCZALNA

Materiały

Surowcami do badań były:

— Ciekłe produkty pirolizy wyselekcjonowanych odpadów z polietylenu i polipropylenu (OP I), prowadzonej w warunkach laboratoryjnych, w zestawie do destylacji. Jednorazowo procesowi poddawano 50–100 g odpadowego tworzywa.

— Ciekłe produkty pirolizy poliolefin pochodzących z odpadów komunalnych (OP II). Pirolizę prowadzono w bezciśnieniowym reaktorze, do którego jednorazowy wsad wynosił ok. 2000 g.

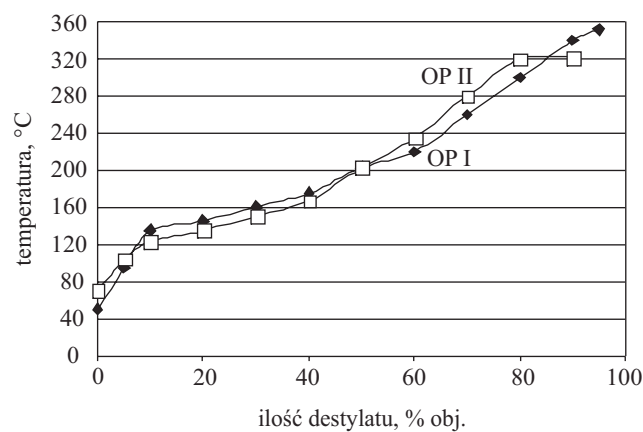
Aby uzyskać ilość surowca wystarczającą do przeprowadzenia procesów uszlachetniania, procesy pirolizy powtarzano kilkakrotnie. Uśrednioną charakterystykę ciekłych surowców przedstawiono w tabeli 1.

T a b e l a 1. Fizykochemiczne właściwości surowców OP I i OP II
T a b l e 1. The physicochemical properties of OP I and OP II raw materials

Parametr	Jednostka	OP I	OP II
Gęstość (PN-66/C-04004)	g/cm ³	0,76–0,79	0,8
Liczba jodowa, L _J , (PN-67/C-04068)	g J ₂ /100 g	60–70	70–75
Masa molowa (PN-64/0530-02)	g/mol	180–187	145
Udział związków nienasyconych (PN-72/C-96026)	% mas.	42–51	40–45
Udział związków ulegających sulfonowaniu (PN-72/C-96026)	% mas.	40–55	50–55
Udział związków aromatycznych (PN-72/C-96026)	% mas.	brak	5–8
Zawartość siarki (PN-80/97087)	% mas.	ślady	ślady

Właściwości surowców pochodzących z obu źródeł są podobne. Zasadniczą różnicą jest obecność związków aromatycznych w OP II wynikającą z niedokładnej selekcji odpadów komunalnych, skutkującej udziałem w nich do 10 % mas. polistrenu.

Obydwa surowce destylują w całości w temperaturze poniżej 360 °C i ich krzywe destylacyjne mają bardzo zbliżony przebieg (rys. 1). Połowa składników destyluje poniżej 200 °C i są to potencjalne komponenty benzyn, druga połowa to potencjalne komponenty olejów napędowych.



Rys. 1. Krzywe destylacji surowców

Fig. 1. The distillation curves of the raw materials

Hydrorafinacja i hydrogenizacja

W procesach hydrorafinacji stosowano przemysłowy katalizator CoMo (G-3), a w procesach hydrogenizacji katalizator NiCr (Leuna Werke). Procesy wodorowego uszlachetniania surowców prowadzono w aparaturze laboratoryjnej Zwillingreaktor, system NAKI, typu OL-102, produkcji węgierskiej firmy FOK-GYEM. Aparatura przystosowana do pracy pod ciśnieniem 10 MPa i w temp. do 600 °C składała się z dwóch, pracujących niezależnie reaktorów przepływowych, o pojemności 0,2 dm³, ze stacjonarnym złożem katalizatora. Uwodorniany surowiec oraz wodór doprowadzany do reaktora wspólnie prądowniczo. Produkty schładzane za pomocą chłodniczki wodnej, a następnie kondensatora, w którym następował rozdział fazy ciekłej i gazu. Produkty uwodorniania odbierano ręcznie. Czynnikiem uwodorniającym był wodór, z wyjątkiem hydrogenizacji, gdzie w celach porównawczych, zastosowano mieszaninę gazową składem przypominającą gaz koksowniczy (H₂ – 52,3 % obj., CH₄ – 26,1 % obj., CO – 13,3 % obj., N₂ – 8,3 % obj.). Pozostałe parametry obu procesów przedstawiono w tabeli 2. Zużycie wodoru wynosiło ok. 130 m³/m³ surowca.

T a b e l a 2. Parametry procesów wodorowego uszlachetniania
T a b l e 2. Hydrorefining process parameters

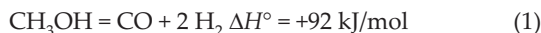
	Temperatura, °C	Ciśnienie MPa	Obciążenie masowe katalizatora, h ⁻¹
Hydrorafinacja	300–370	5–8	2–2,5
Hydrogenizacja	200–250	2	2–2,5

Uszlachetnianie za pomocą metanolu

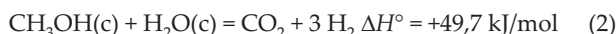
Szerokie stosowanie procesów wodorowych do uszlachetniania mieszanin węglowodorowych ogranicza wysoka cena wodoru. Dlatego właśnie próbowało zostać zastąpić wodór gazem koksowniczym. W procesie uszlachetniania za pomocą metanolu uzyskano dobry efekt, ale z powodu wysokiej ceny etanolu, który jest głównym składnikiem tego gazu, nie jest on stosowany w przemyśle.

chetniania można też wykorzystać rozpuszczalniki do norowodorowe. Wśród nich, obok związków hydroaromatycznych [12] wymienia się metanol. Korzystny stosunek liczby atomów wodoru do węgla w metanolu i brak wiązań węgiel–węgiel zmniejsza możliwość powstania koksu podczas jego przerobu. Znane są cztery metody wytwarzania wodoru z metanolu:

— rozkład



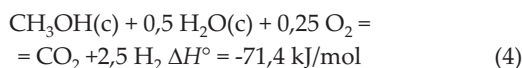
— reforming parowy



— częściowe utlenianie



— reforming autotermiczny



Wszystkie wymienione reakcje przebiegają w umiarkowanej temperaturze i w obecności katalizatorów z udziałem metali przejściowych (miedź i pallad). Najszerzszego zastosowanie znalazły katalizatory Cu/ZnO [13].

Próby uszlachetniania prowadzone w ciśnieniowym autoklawie pojemności 1 dm³, zaopatrzonym w mechaniczny system mieszający, a także urządzenia do pomiaru temperatury i ciśnienia. Stosunek objętościowy reagentów (surowca OP II i metanolu) wynosił 1:1. Po umieszczeniu mieszaniny reakcyjnej w autoklawie przedmuchiwano go argonem, a następnie szczelnie zamkano. Założona temperatura procesu wynosiła 340 °C. Uzyskiwane w trakcie procesu ciśnienie zależało od składu mieszaniny, jej objętości i było wynikiem prężności par mieszaniny w przemianach fazowych i chemicznych. W procesach uszlachetniania surowca OP II ciśnienie wzrastało do 12–15 MPa, a więc było dwukrotnie wyższe niż w poprzednio omawianych procesach. Po zakończeniu procesu autoklaw pozostawiano do całkowitego ostygnięcia do temperatury pokojowej. Po otwarciu pokrywy autoklawu uzyskaną ciekłą mieszaninę poddawano destylacji w celu usunięcia pozostałości metanolu.

Metody badań

Efektywność hydrorafinacji i hydrogenizacji surowców OP I i OP II określano na podstawie zmniejszenia się udziału składników nienasyconych w produktach uszlachetniania.

— Zawartość związków nienasyconych (w % mas.) w produkcie obliczano na podstawie wartości liczby jodowej i średniej masy molowej, wg wzoru:

$$LJ \cdot M_{sr}/254$$

gdzie: LJ – wartość liczby jodowej (w g J₂ na 100 g produktu), M_{sr} – średnia masa molowa produktu (g/mol), 254 – masa molowa jodu (g/mol).

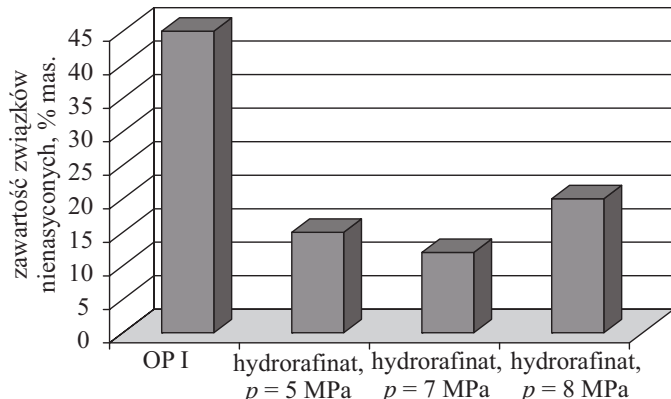
— Widma ¹H NMR rejestrowano za pomocą aparatu Varian Unity Inova 300 MHz wobec TMS jako wzorca i deuterowego chloroformu jako rozpuszczalnika.

WYNIKI BADAŃ I ICH OMÓWIENIE

Hydrorafinacja

Oceniano wpływ ciśnienia i temperatury na efektywność procesu wykorzystując wcześniejsze doświadczenie nabyte przy uszlachetnianiu produktów przetwórstwa węgla [14]. Założono, że hydrorafinacja nie powinna być prowadzona w temperaturze niższej niż 300 °C i pod ciśnieniem niższym niż 5 MPa.

Pierwszą serię badań obejmującą surowiec OP I realizowano w temp. 360 °C. Ciśnienie zmieniano w zakresie 5–8 MPa uzyskując produkty z wydajnością 80–87 % mas. Hydrorafinaty były jaśniejsze od surowców i pozbawione nieprzyjemnego zapachu. Udział związków nienasyconych wynosił w nich od 12 do 20 % mas., w zależności od ciśnienia, pod jakim prowadzony był proces (rys. 2).



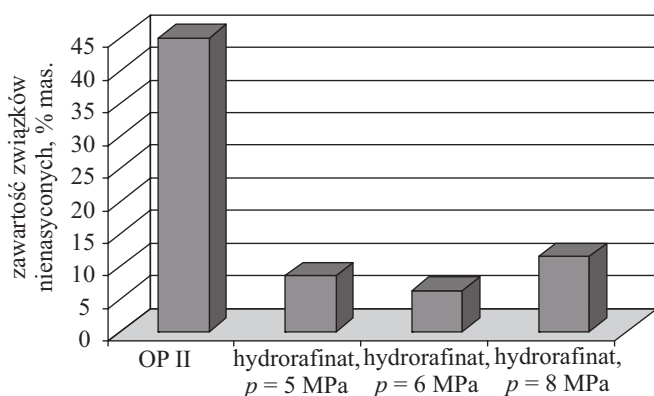
Rys. 2. Wpływ ciśnienia na zawartość związków nienasyconych w hydrorafinatach surowca OP I ($T = 360 \text{ }^\circ\text{C}$)

Fig. 2. The influence of pressure on the amount of unsaturated hydrocarbons in the products of the hydrotreating of OP I (process temperature 360 °C)

Jak widać najwyższy stopień wysycenia związków nienasyconych, wynoszący ok. 74 % mas., osiągnięto prowadząc proces pod ciśnieniem 7 MPa. Podwyższenie tego ciśnienia zmniejsza efektywność hydrorafinacji.

Podobną prawidłowość zaobserwowano w przypadku uszlachetniania surowca OP II. Procesy prowadzono tak jak w poprzedniej serii, w temp. 360 °C. Zastosowano ciśnienie 5 MPa, 6 MPa lub 8 MPa. Wyniki badań ilustruje rys. 3.

Analiza ciekłych produktów wykazała, że efektywność hydrorafinacji surowca OP II była większa niż surowca OP I. Zawartość związków nienasyconych w hydrorafinatach uzyskanych pod ciśnieniem 5 lub 6 MPa nie



Rys. 3. Wpływ ciśnienia na zawartość związków nienasyconych w hydrotreatedach surowca OP II ($T = 360^\circ\text{C}$)

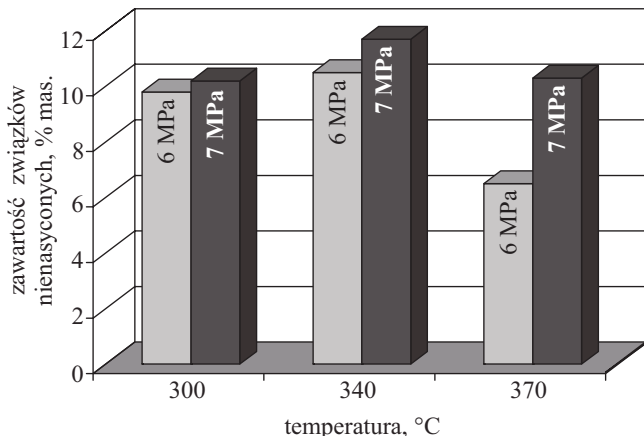
Fig. 3. The influence of pressure on the amount of unsaturated hydrocarbons in the products of the hydrorefining of OP II (process temperature 360°C)

przekraczała 10 % mas., a więc stopień ich wysycenia wynosił ponad 80 % mas.

W celu określenia wpływu temperatury na efektywność hydrotreatingu przeprowadzono proces w dwóch seriach — pierwszą pod ciśnieniem 6 MPa, drugą — 7 MPa i w trzech wartościach temperatury — 300, 340 i 370°C . Uzlachetnianiu poddano surowiec OP II. Otrzymywano produkty z wydajnością 80–95 % obj.

Zależność efektywności wysycenia składników nienasyconych od temperatury i ciśnienia przedstawiono na rys. 4.

Wyniki badań wskazują, że w warunkach zastosowanego ciśnienia efektywność hydrotreatingu w niewielkim stopniu zależy od temperatury. Udział związków nienasyconych w pięciu z sześciu uzyskanych hydrotreatedów był porównywalny i wynosił od ok. 10 do ok. 12 % mas. Jedynie w produkcie pochodzący z procesu prowadzonego pod ciśnieniem 6 MPa i w temp. 370°C stwierdzono



Rys. 4. Wpływ ciśnienia i temperatury na efektywność hydrotreatingu surowca OP II

Fig. 4. The influence of temperature and pressure on efficiency in the hydrorefining of OP II

mniejszą zawartość związków nienasyconych (ok. 6 % mas.).

Dla potwierdzenia wyników wykonano analizę ^1H NMR surowca oraz trzech hydrotreatedów uzyskanych pod ciśnieniem 7 MPa i w różnej temperaturze.

Na widmie ^1H NMR surowca stwierdzono występowanie:

- sygnałów protonów w ugrupowaniach alifatycznych, w zakresie 0,5–2 ppm;

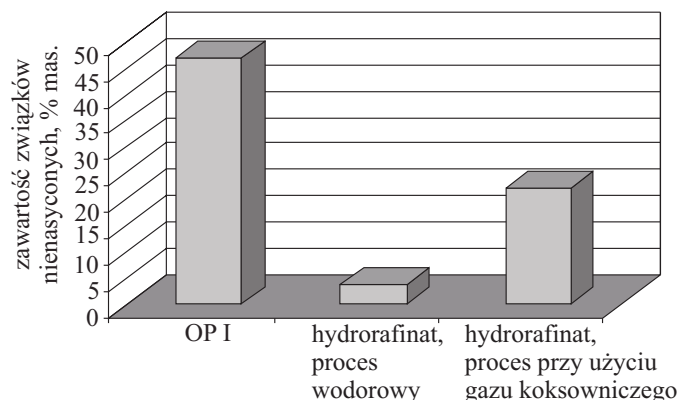
- sygnałów protonów w ugrupowaniach nienasyconych, w zakresie 4,5–6 ppm;

- sygnałów protonów w ugrupowaniach aromatycznych, w zakresie 6,5–7,4 ppm.

Widma hydrotreatedów są bardzo do siebie podobne. Nie obserwuje się na nich sygnałów protonów struktur nienasyconych. Widoczne są intensywne sygnały protonów w ugrupowaniach alifatycznych i, nieznacznie słabsze niż na widmach surowca, sygnały protonów w połączeniach aromatycznych.

Hydrogenizacja

Produkty ciekłe uzyskane z pirolizy odpadowych poliolefin nie zawierają heteroatomów, co jest istotne zwłaszcza w przypadku siarki. Dlatego też mogą być poddane bezpośrednio hydrogenizacji na katalizatorach niklowych (bardzo wrażliwych na siarkę). Wykonano dwie próby takiego uszlachetniania surowca OP I, przy czym w drugiej próbie wodór zastąpiono gazem koksowniczym.



Rys. 5. Porównanie efektywności hydrogenizacji surowca OP I wodorem i gazem koksowniczym

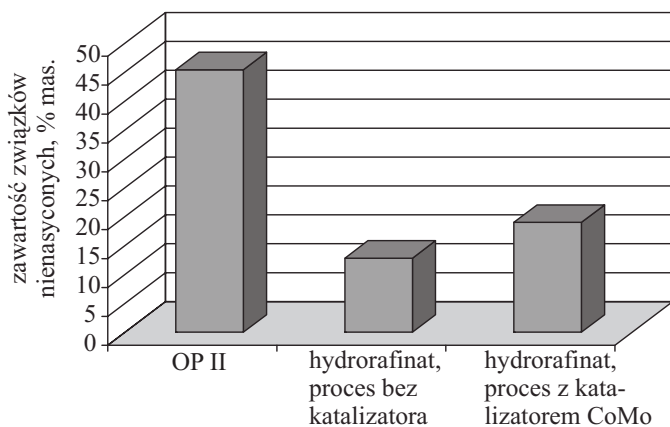
Fig. 5. Comparison of process efficiency in the hydrorefining of OP I with hydrogen and coke-oven gas

Proces hydrogenizacji wodorem prowadzono w łagodnych warunkach a mimo to jednak wysyceniu uległo ok. 90 % mas. zawartych w OP I związków nienasyconych (rys. 5). Gaz koksowniczy jest mniej efektywny. W hydrogenizacji pozostaje jeszcze blisko połowa związków nienasyconych.

Uszlachetnianie za pomocą metanolu

Wykonano dwie próby uszlachetniania surowca OP II przy użyciu metanolu, pierwszą bez katalizatora, drugą zaś z jego udziałem.

Otrzymano produkty z wydajnością 79 % mas. w procesie bez katalizatora i 73 % mas. w procesie z udziałem katalizatora G-3 (CoMo) (rys. 6).



Rys. 6. Porównanie efektywności hydrotreatingu surowca OP II metanolem, w warunkach bezkatalitycznych i w obecności katalizatora CoMo

Fig. 6. Comparison of efficiency in the hydrorefining with methanol of OP II with and without CoMo catalyst

Porównanie wyników (por. rys. 3, 4 i 6) pozwala na stwierdzenie, że pomimo zastosowania w procesie uszlachetniania metanolem, ciśnienia wyższego niż w konwencjonalnym uszlachetnianiu wodorem, efektywność uwodornienia była nieco mniejsza. W konwencjonalnych procesach stopień wysycenia związków nienasyconych wynosi średnio ok. 80 %, podczas gdy w procesach przy użyciu metanolu 60–70 %. Jak widać na rys. 6 efektywniej przebiegał proces bez katalizatora.

PODSUMOWANIE

Ciekłe produkty pirolizy odpadowych poliolefin są potencjalnymi komponentami bezsiarkowych paliw silnikowych. Wymaga to jednak ich wodorowego uszlachetnienia wysycającego składniki nienasycone do poziomu dopuszczalnego, określonego przez normy (do 18 % obj.).

Hydrotreatingu na katalizatorze CoMo korzystnie jest prowadzić pod ciśnieniem 6–7 MPa i w temp. 300 °C. W takich warunkach wysyceniu ulega ok. 80 % mas.

związków nienasyconych. Podwyższenie temperatury procesu nie wpływa na jego efektywność.

W bezpośredniej hydrogenacji na katalizatorze NiCr założony stopień wysycenia składników nienasyconych w produktach pirolizy poliolefin można osiągnąć już w temp. 250 °C i pod ciśnieniem 2 MPa.

W procesach uszlachetnienia surowców gazowy wodór można zastąpić gazem koksowniczym lub metanolem, użyтыm jako rozpuszczalnik donorowodorowy. W przypadku gazu koksowniczego jest konieczne jego sprężenie do 3–4 MPa, w celu zwiększenia ciśnienia cząstkowego wodoru. Efektywność uszlachetniania metanolem była nieco mniejsza od uszlachetniania konwencjonalnego mimo to, że była prowadzona pod wyższym ciśnieniem. Wadą procesu z wykorzystaniem metanolu, oprócz tego, że jest periodyczny, jest konieczność mechanicznego, bądź destylacyjnego oddzielania nieprzereagowanego rozpuszczalnika.

Przedstawione badania były częściowo finansowane ze środków na naukę, w ramach projektu zamawianego PBZ-MNiSW-5/3/2006.

LITERATURA

1. Lasota J., Musalski A., Mianowski A.: „Rozkład polipropilenu w obecności katalizatorów glinokrzemianowych”, Materiały II Kongresu Technologii Chemicznej, TECHEM II, Wrocław 1998, t. II, str. 139.
2. Tokarska A.: Politechnika Koszalińska, Zeszyty Naukowe Wydziału Budownictwa i Inżynierii Środowiska 1999, **15**, 165.
3. Tokarska A.: w [2] 2001, **20**, 217.
4. Zgłosz. pat. P 363 780 (2003).
5. Pat. pol. 195 034 (2007).
6. Tokarska A.: w [2] 2003, **21**, 297.
7. Mianowski A., Tokarska A.: Chemik 2005, **48**, 367.
8. Mianowski A., Tokarska A.: Przem. Chem. 2005, **84**, 829.
9. Mianowski A., Kałyński P., Siudyga T.: „Diesel fuels from waste plastic”, „5th Identiplast 2005”, Bruksela, 18–20 kwietnia 2005 (dostępny w wersji elektronicznej).
10. Pat. pol. 191 341 (2005).
11. Pat. pol. 192 014 (2006).
12. Szuba J., Michalik L.: „Paliwa ciekłe z węgla”, WNT, Warszawa 1992.
13. Gołębiowski A., Borowiecki T.: „Wytwarzanie wodoru z metanolu – nowe katalizatory” w pracy zbiorowej „Czysta energia, produkty chemiczne i paliwa z węgla – ocena potencjału rozwojowego” (red. Borowiecki T., Kijeński J., Machnikowski J., Sciążko M.), IChPW, Zabrze 2008.
14. Tokarska A., Lasota J.: Karbo 2003, **48**, 10.

Otrzymano 15 VII 2010 r.